

変分法による粘土斜面の3次元安定解析(Ⅱ)

群馬大学 工学部 学生員 ○細堀 建司
群馬大学 工学部 正員 鶴飼 恵三

1. まえがき ここでは前報(I)に引き続き、変分法による安定解析の方法と計算結果、および完全円筒面による底部破壊の計算結果を示す。地盤は均質、等方と仮定する。

2. 変分法による粘土斜面の3次元安定解析(続) 鉛直な粘土斜面に対する解析方法と計算例はすでに鶴飼¹⁾によって示されており、その方法は一般的な勾配 β の単純斜面にも拡張できる。

安定係数 $N_s (= \gamma H F / c)$ は式(1)によって表され、 C は粘着力で非排水強度を用いる。抵抗モーメントに関する項と滑動モーメントに関する項は式(2)、(3)のように表せる。 $0 \leq y \leq L$ は変分法により決定される曲面部分を表し、ここで断面の半径 ϕ と y との関係は式(4)で表せる。

$$N_s = \frac{\{FM_r/C\}}{\{Md/(\gamma H)\}} \quad \dots \dots \dots (1)$$

$$\{FM_r/C\} = R_1 + R_2 + R_3 = (\theta_{20} - \theta_{10}) \phi_o^2 L_c + \int_0^{L_e} (\theta_2 - \theta_1) \phi^2 \sqrt{1 + \phi^2} dy + \int_{\phi_m}^{\phi_L} (\theta_2 - \theta_1) \phi^2 d\phi \quad \dots \dots \dots (2)$$

$$\{Md/(\gamma H)\} = D_1 + D_2 = L_c \phi_o^3 \{f_1(\theta_{20}, \theta_{10}) - f_2(\theta_{20}, \theta_{10}) - f_3(\theta_{20}, \theta_{10})\} + \int_0^{L_e} \phi^3 \{f_1(\theta_2, \theta_1) - f_2(\theta_2, \theta_1) - f_3(\theta_2, \theta_1)\} dy \quad \dots \dots \dots (3)$$

$$\text{ここで } f_1(\theta_2, \theta_1) = \frac{1}{3} (\sin \theta_2 - \sin \theta_1), \quad f_2(\theta_2, \theta_1) = \frac{1}{6} l (2 \cos \theta_1 - l) \sin \theta_1, \quad f_3(\theta_2, \theta_1) = \frac{1}{6} \{\sin(\theta_2 - \theta_1) - l \sin \theta_2\} (\cos \theta_1 - l + \cos \theta_2), \quad l = \frac{\sin(\theta_2 - \theta_1)}{\sin \theta_2} - \frac{\sin(\theta_2 + \beta)}{\sin \theta_2 \sin \beta} (\sin \theta_2 - \sin \theta_1), \quad \theta_1 = \sin^{-1} \frac{b}{\phi},$$

$$\theta_2 = \pi - \beta - \sin^{-1} \frac{a}{\phi}, \quad a = \phi_o \sin(\theta_{20} + \beta), \quad b = \phi_o \sin \theta_{10} \quad (\text{ただし } \theta_1 \leq \frac{\pi}{2}, \theta_2 + \beta \geq \frac{\pi}{2}$$

とする)

$$y = \int_{\phi}^{\phi_o} (N_s g + C) / \sqrt{f^2 - (N_s g + C)^2} d\phi \quad \dots \dots \dots (4)$$

$$\text{ここで } C = f_0 - N_s g_0, \quad f_0 = (\theta_{20} - \theta_{10}) \phi_o^2, \quad \phi_o = 1 / (\sin \theta_{20} - \sin \theta_{10}), \quad g_0 = \phi_o^3 \{f_1(\theta_{20}, \theta_{10}) - f_2(\theta_{20}, \theta_{10}) - f_3(\theta_{20}, \theta_{10})\}, \quad f, g \text{ は } f_0, g_0 \text{ の式から "0" を取り除いたもの}$$

式(4)の関係を式(2)、(3)の R_2 、 R_3 、 D_2 に代入すると次の式(5)、(6)、(7)を得る。一部の記号は前報(I)に示した。

$$R_2 = \int_{\phi_L}^{\phi_o} (\theta_2 - \theta_1) \phi^2 f / \sqrt{f^2 - (N_s g + C)^2} d\phi \quad \dots \dots \dots (5)$$

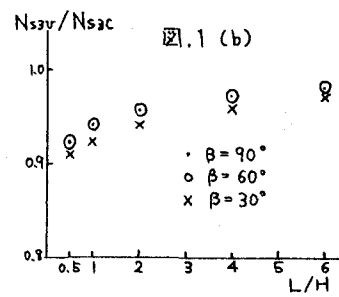
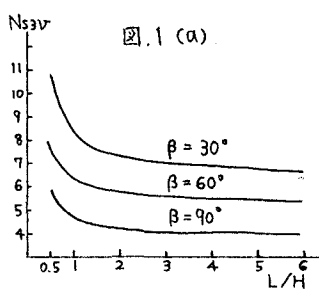
$$R_3 = \int_{\phi_m}^{\phi_L} (\theta_2 - \theta_1) \phi^2 d\phi = \frac{1}{3} (\pi - \beta) (\phi_o^3 - \phi_m^3) - \{S(a, \phi_o) - S(a, \phi_m) + S(b, \phi_o) - S(b, \phi_m)\} \quad (6)$$

$$D_2 = \int_{\phi_L}^{\phi_o} \phi^3 (N_s g + C) \{f_1(\theta_2, \theta_1) - f_2(\theta_2, \theta_1) - f_3(\theta_2, \theta_1)\} / \sqrt{f^2 - (N_s g + C)^2} d\phi \quad \dots \dots \dots (7)$$

$$\text{ここで } S(a, \phi) = \frac{\phi^3}{3} \sin^{-1} \frac{a}{\phi} + \frac{a}{3} \left\{ \frac{\phi}{2} \sqrt{\phi^2 - a^2} + \frac{a^2}{2} \ln(\phi + \sqrt{\phi^2 - a^2}) \right\}$$

L_e は式(4)で $y = L_e$ 、 $\phi = \phi_L$ と置いて得られる。 ϕ_L は方程式 $g_{\phi} = \phi + \frac{f_0}{N_s g} - g = 0$ より求める。計算はNewton-Raphson法による。安定係数 N_s を求める方法は次のようである。(i) β 、 L_c を決める。(ii) 適当に θ_{10} 、 θ_{20} を与える。(iii) N_s の初期値を代入して上式にまとめて計算を行い式(1)より新たな N_s を求める。(iv) これを再び初期値として繰り返し計算を行ない N_s の収束値を求める。

(v) θ_{10} 、 θ_{20} の値を変えて同じ計算を繰り返し、同様にして多數の N_s を求め、この中から必要な精度で N_s の最小値 N_{s3min} を得る。これに対応する β 、 L_c 、 $L (= L_c + L_e)$ も定まる。図.1 (a)は変分法による N_s の値 N_{s3V} と L/H との関係を示す。ただし回転円の中心軸の位置は簡単のため完全円筒面による。



筒面での最小値 N_{SAC} を与える点とした。図.1 (b) は完全円筒面での値との比率を表す。傾角 β が $30^\circ \sim 90^\circ$ に変化してもその比率は 1 ~ 2 % 程度しか変化しないという特徴すべし傾向を示している。

3. すべり面が完全円筒面である場合の底部破壊による最小安全率 勾配の小さな粘土斜面では、すべり面が斜面下を通る底部破壊が最小安全率を与えると考えられる。ここでは前報 (I) で用いた円筒すべり面を図.2 のような底部破壊に拡張する。すべり面の長さは $2L$ とし、対称形で θ_m から半分の長さに亘ってモーメントのツリ合いから安全係数を計算する。滑動モーメント M_d は式 (8) で表せる。²⁾

$$M_d = \gamma L \phi^3 (f_1 - f_2 - f_3 - f_4) \quad \cdots \cdots (8)$$

ただし、 f_1, f_2, f_3 は式 (3) の中で用いたものと同様。

$$f_4 = \frac{1}{\phi} \frac{\sin(\beta - \beta')}{2 \sin \theta_2 \sin \beta'} \left\{ \cos \theta_1 - l - \frac{1}{3 \phi} (1/\tan \beta' + 1/\tan \beta) \right\}$$

$$l = \frac{\sin(\theta_2 - \theta)}{\sin \theta_2} - \frac{\sin(\theta_2 + \beta')}{\sin \theta_2 \sin \beta'} (\sin \theta_3 - \sin \theta_1)$$

抵抗モーメントは式 (9) により表せる。 M_r は円筒面上の抵抗モーメント

ト。 $M_{r3}, M_{r4}, M_{r5}, M_{r6}$ は端面の抵抗モーメントで積分計算上の理由から分割してある。 $\theta_m + \beta > \frac{\pi}{2}$, $\theta_3 > \frac{\pi}{2}$ のとき $M_{r5} = M_{r6} = 0$ 。 $\theta_m + \beta < \frac{\pi}{2}$, $\theta_3 < \frac{\pi}{2}$ のとき $M_{r6} = 0$, $\theta_m + \beta > \frac{\pi}{2}$, $\theta_3 < \frac{\pi}{2}$ のとき $M_{r5} = 0$ となる

$$M_r = M_{r1} + M_{r3} + M_{r4} + M_{r5} + M_{r6} \quad \cdots \cdots (9)$$

$$\text{ここで } M_{r1} = \frac{C}{F} (\theta_2 - \theta_1) \phi^2 L$$

$$M_{r3} = \frac{C}{F} \int_{\theta_2}^{\theta_m} \left(\pi - \sin^{-1} \left(\frac{b+1}{\phi} \right) - \sin^{-1} \frac{b}{\phi} \right) \phi^2 d\phi$$

$$M_{r4} = \frac{C}{F} \int_{\theta_m}^{\theta_3} \left(\pi - \sin^{-1} \frac{a}{\phi} - \sin^{-1} \frac{b}{\phi} - \beta \right) \phi^2 d\phi$$

$$M_{r5} = \frac{C}{F} \int_{\theta_3}^{\theta_m} \left(\pi - 2 \sin^{-1} \frac{a}{\phi} \right) \phi^2 d\phi, M_{r6} = \frac{C}{F} \int_{\theta_m}^{\theta_3} \left(\pi - 2 \sin^{-1} \left(\frac{b+1}{\phi} \right) \right) \phi^2 d\phi$$

ただし、 $a = \theta_3 \sin(\theta_3 + \beta)$, $b = \theta_2 \sin \theta_1$ 他の記号は図.3 に示す

$M_d = M_r$ によって安全係数 N_s は式 (1) によって計算される。図.4 (a) は底部破壊の N_s の値 N_{SAC} と L/H との関係を示す。図.4 (b) は斜面先端破壊における N_{SAC} の値との比率を示す。 $L/H \leq 6$ においてその差は 10 % を越えることはない。しかも 3 次元効果が大きく考慮しに近づき底部破壊のケースを考える必要性はうすれてくる。計算上、底部破壊が最小安全率を与える勾配 β は $L/H = 0.5, 1, 2, 4, 6$ に対してそれぞれ $\beta = 34^\circ, 37^\circ, 40^\circ, 41^\circ, 42^\circ$ 以下である。

4. まとめ 前報 (I) とあわせて以下の結論が得られる。ただし地盤が等方、均質の場合に限る。

i) 変分法による解が最も厳密であるが、取り扱いが不便である。よって完全円筒面で計算し、すべり面の幅に応じた係数を乗じることによって変分法による解と同程度の安全率が得られるであろう。

ii) $L/H = 1$ 程度の特に 3 次元効果の大きいケースでは底部破壊を考えず、斜面先円筒面による計算の方が十分最小値に近い安全率が得られる。

(参考文献)

1) 鶴飼惠三：“Three-dimensional stability analysis of vertical cohesive slopes”

2) Chen, W.F. (1975)：“Limit Analysis and Soil Plasticity”, Elsevier.

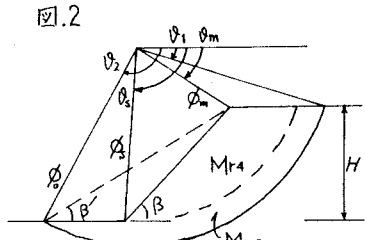


図.2

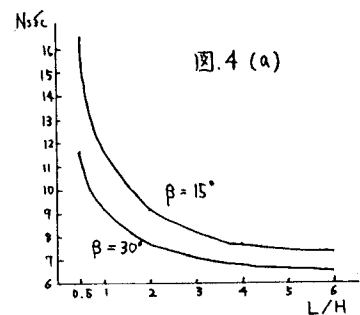
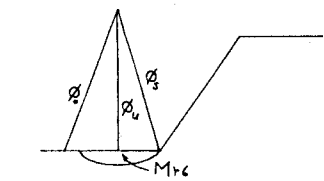
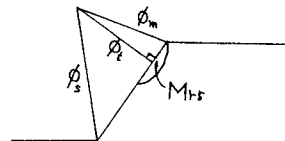


図.4 (a)

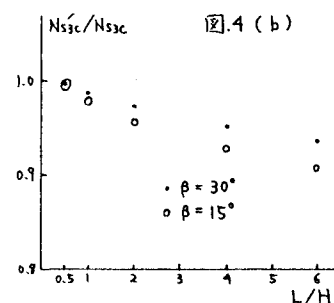


図.4 (b)